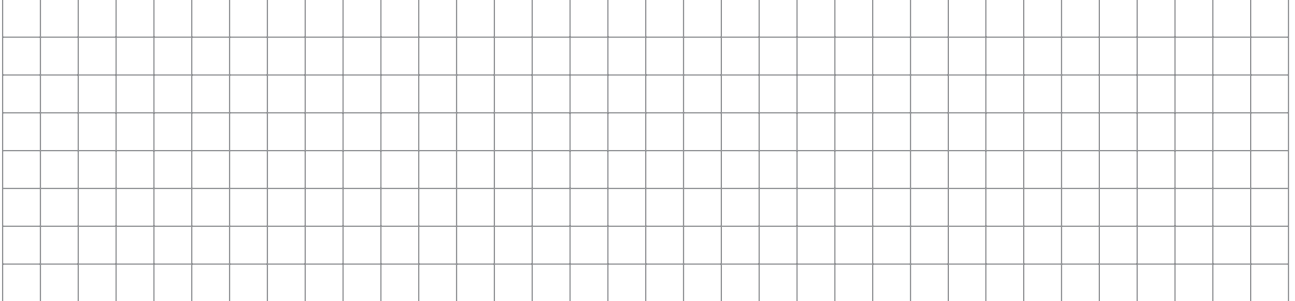
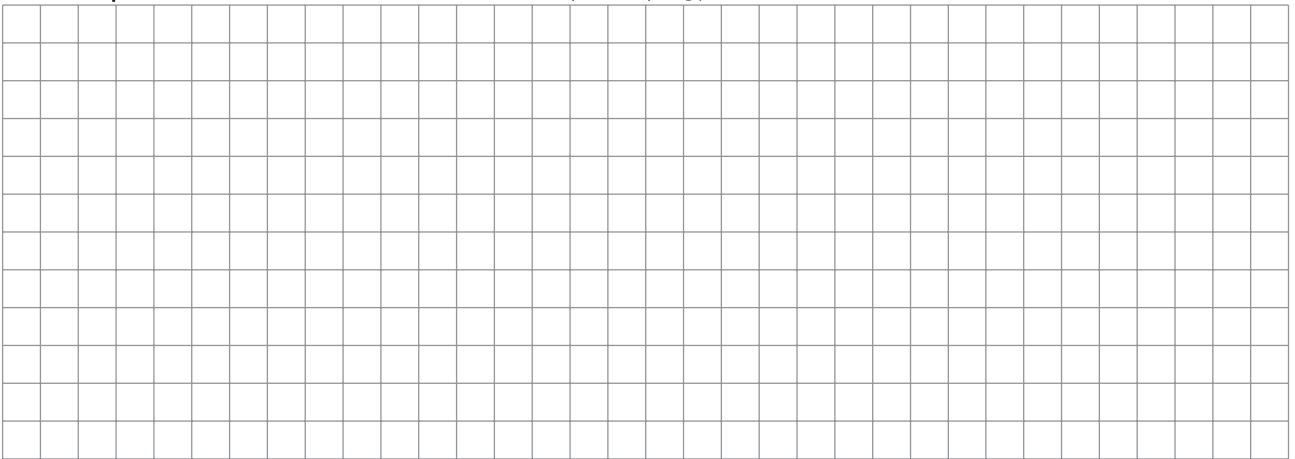


NE RIEN ÉCRIRE DANS CE CADRE



Q4 - Expression littérale de la vitesse $\vec{V}(P, H1/\mathcal{R}_G)$



Q5 - Configuration où la vitesse est maximale. Valeur V_{\max} . Influence de $\dot{\gamma}_1$ sur V_{\max}

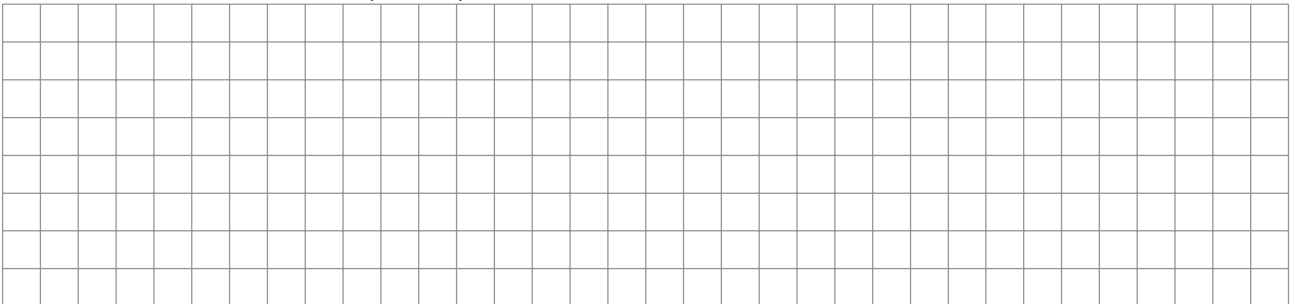


NE RIEN ÉCRIRE DANS CE CADRE

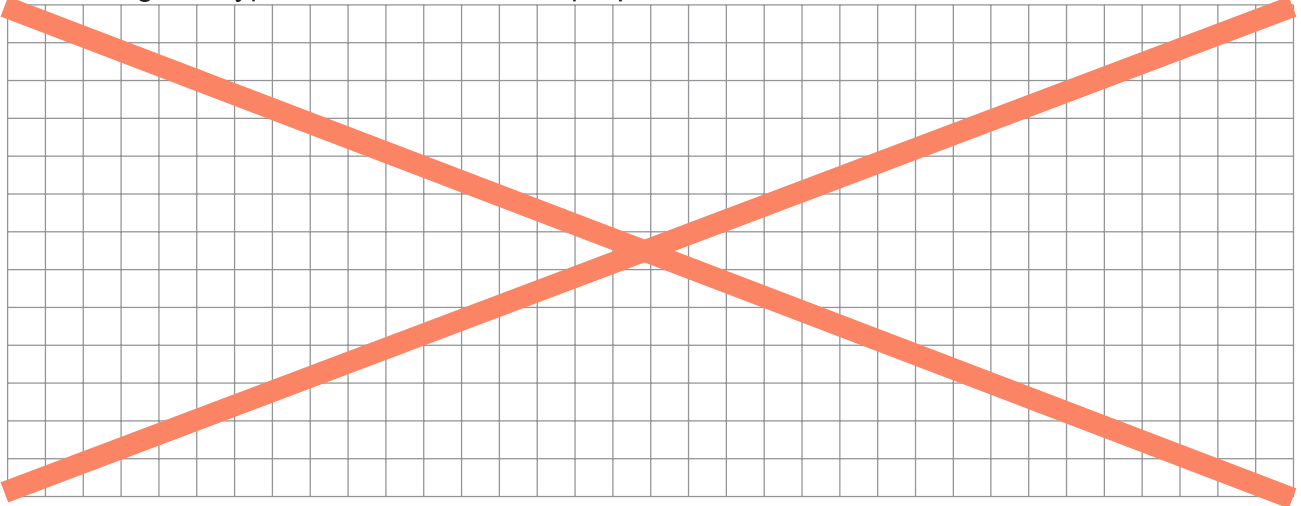
Q15 - Expression du torseur de l'action de l'air sur $H1$ au point O dans la base \mathcal{B}_0



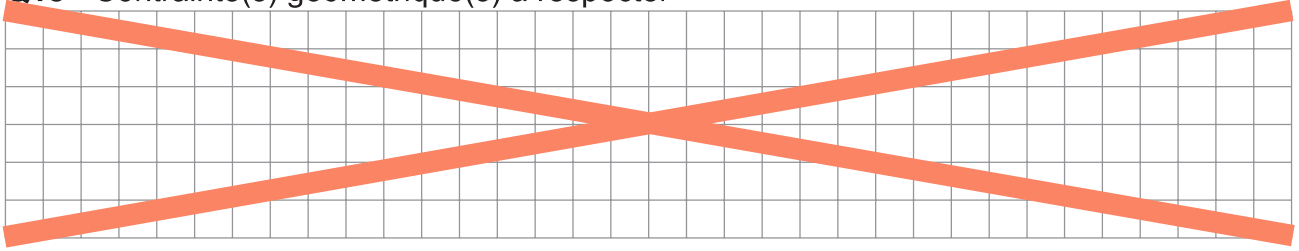
Q16 - Valeur du moment quand γ_1 est nul. Conclusion



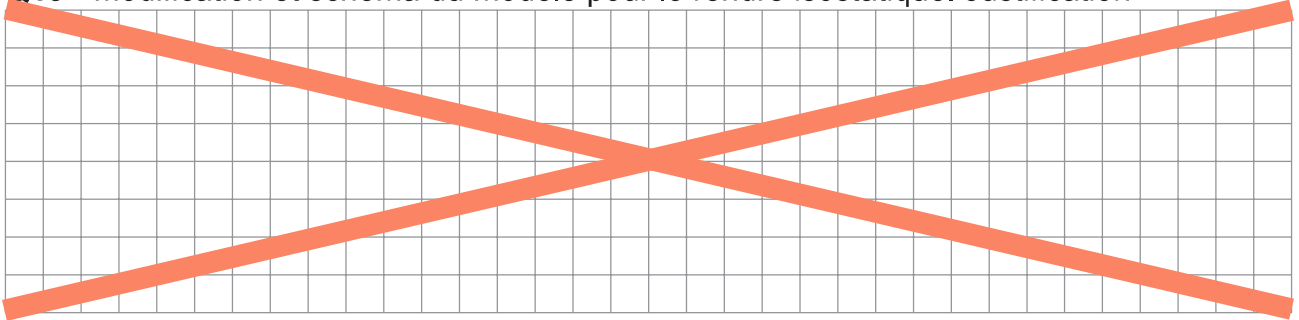
Q17 - Degré d'hyperstaticité du modèle proposé. Justification



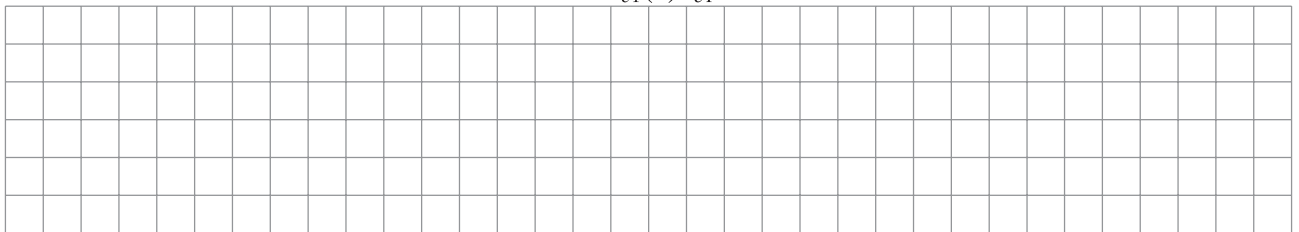
Q18 - Contrainte(s) géométrique(s) à respecter



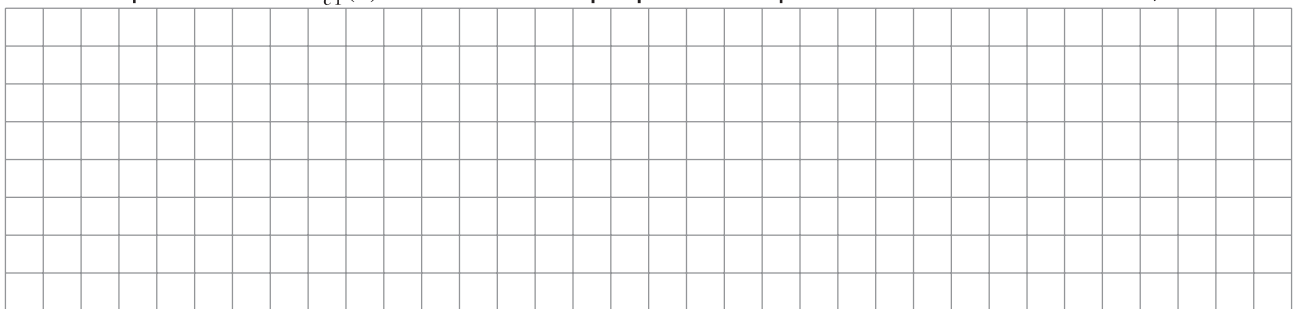
Q19 - Modification et schéma du modèle pour le rendre isostatique. Justification



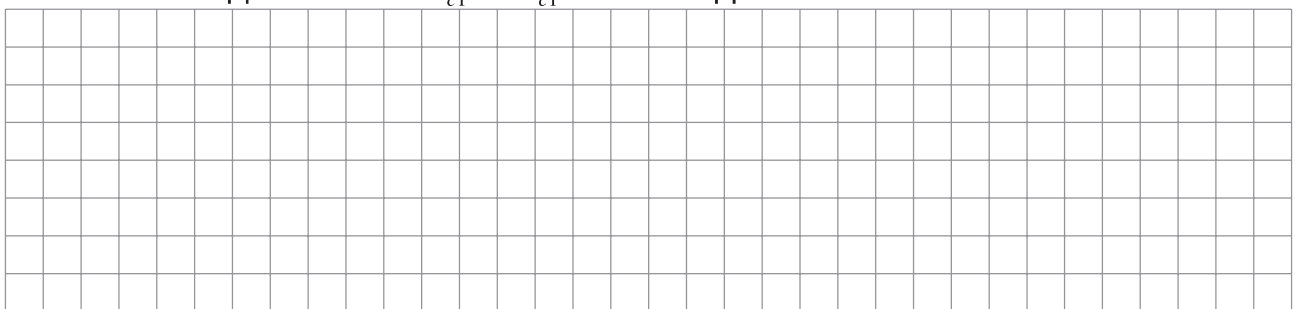
Q20 - Fermeture vectorielle sous la forme $L_{c1}(\theta)\vec{x}_{c1} = \dots$



Q21 - Expression de $L_{c1}^2(\theta)$ sous la forme proposée. Expression des constantes A , B et C

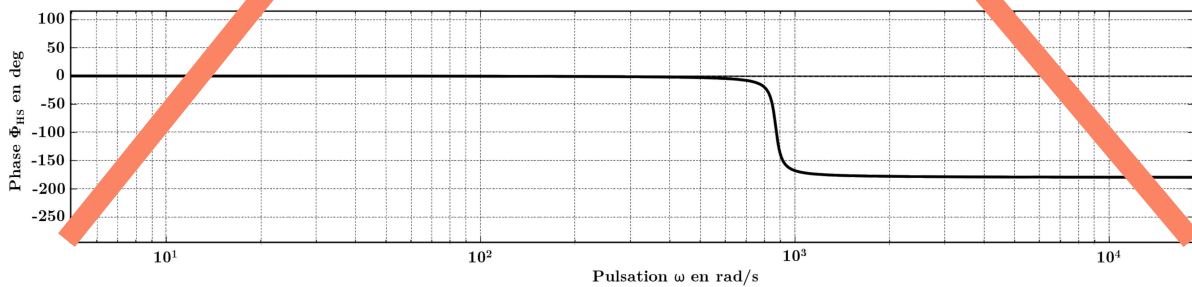
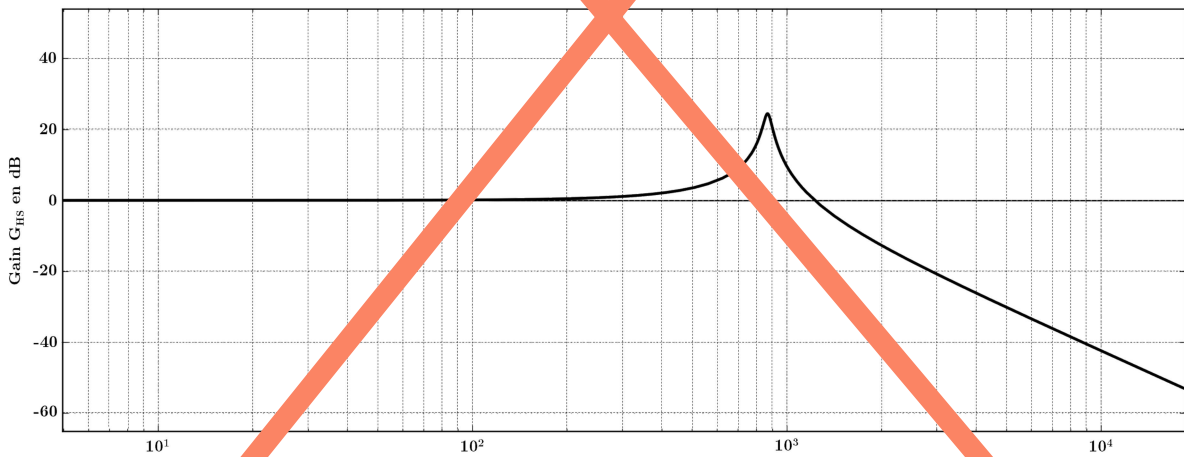
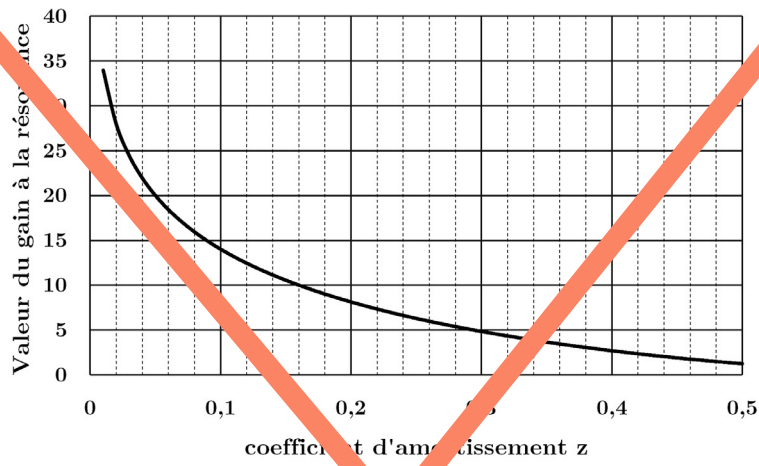
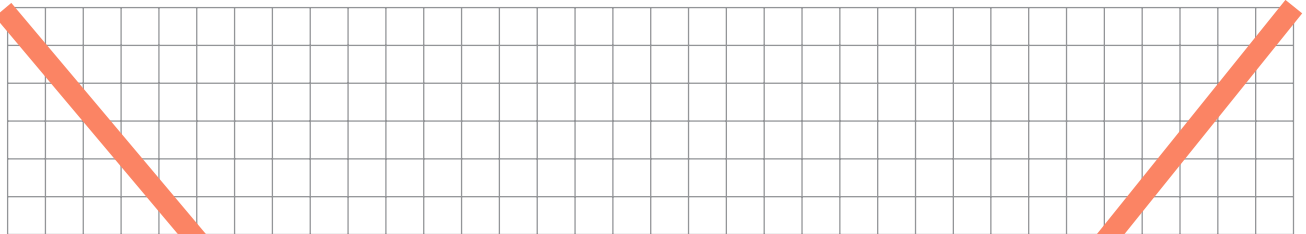


Q22 - Valeurs approchées de L_{c1}^{init} et L_{c1}^{final} . Valeur approchée de $\Delta\theta$



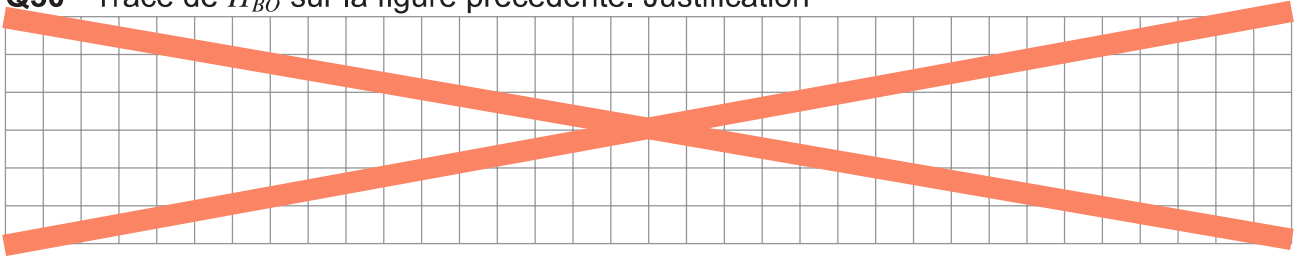
NE RIEN ÉCRIRE DANS CE CADRE

Q29 - Justification du modèle. Identification des valeurs en laissant les tracés sur la figure

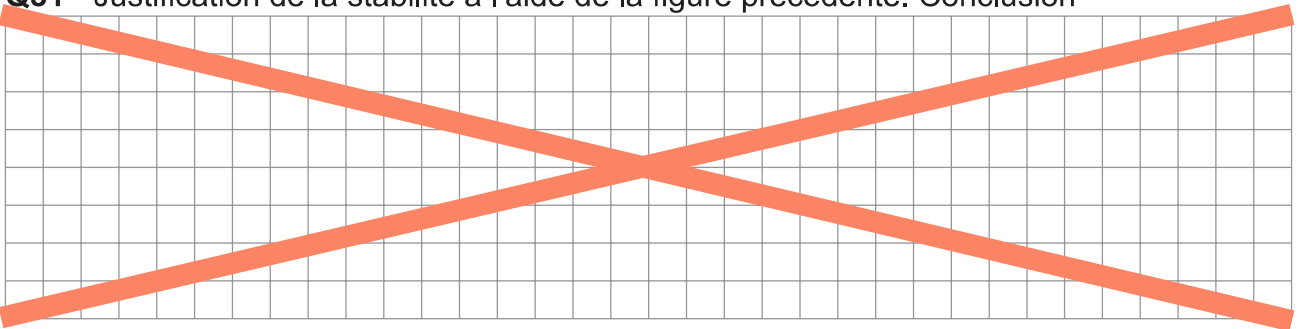


Diagrammes de Bode

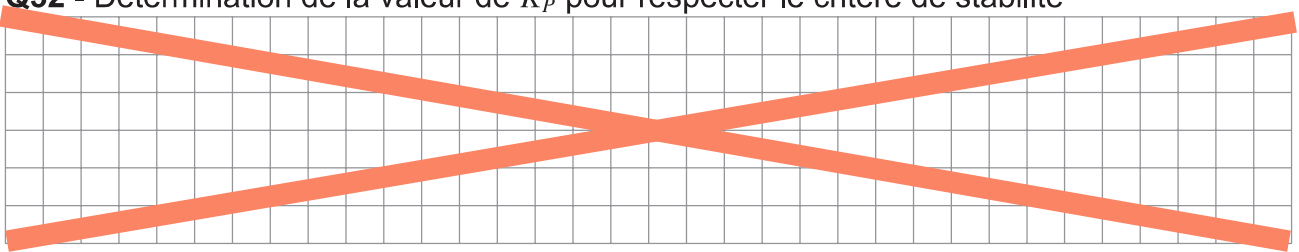
Q30 - Tracé de H_{BO} sur la figure précédente. Justification



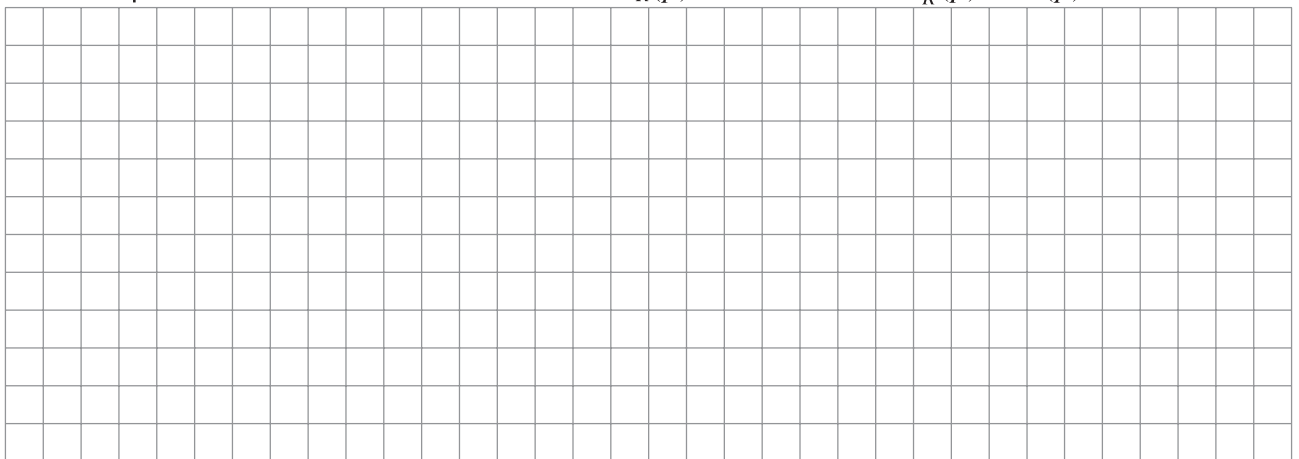
Q31 - Justification de la stabilité à l'aide de la figure précédente. Conclusion



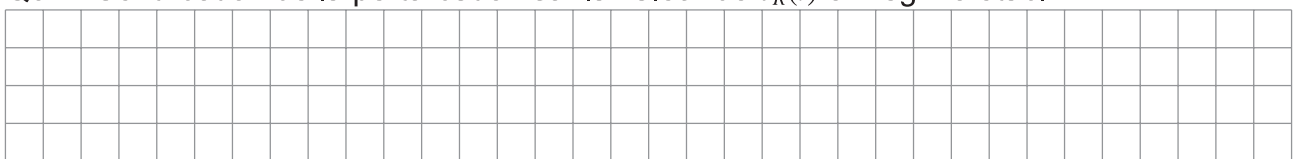
Q32 - Détermination de la valeur de K_p pour respecter le critère de stabilité



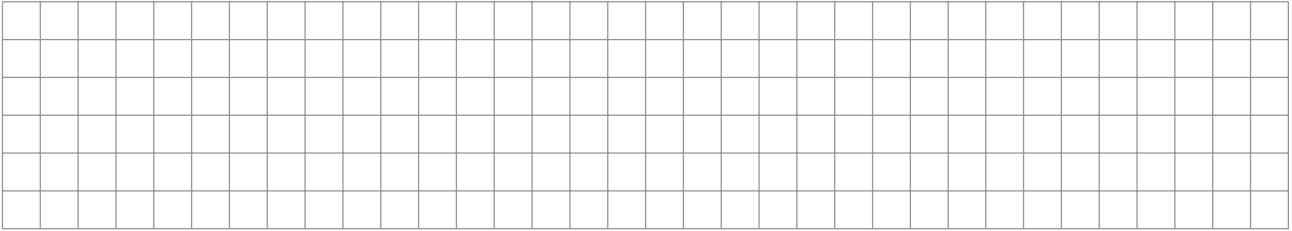
Q33 - Expression de la relation de transfert $\theta_R(p)$ en fonction de $\theta_R^C(p)$ et $P(p)$



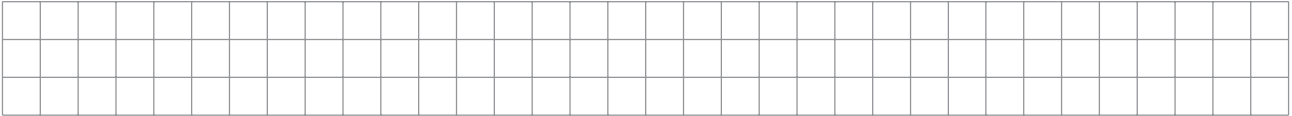
Q34 - Contribution de la perturbation sur la valeur de $\theta_R(t)$ en régime établi



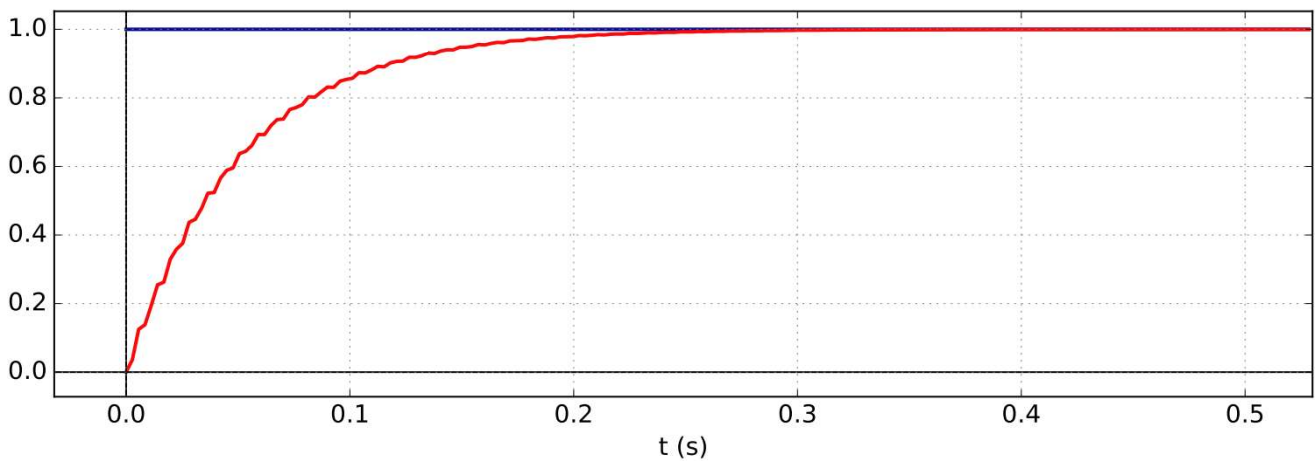
Q35 - Valeur de K_p pour respecter le critère de précision vis-à-vis de la perturbation.



Q36 -



θ_R^c et θ_R (degrés)



Q37. Expression de ε_i .

